

### II. Exigence fonctionnelle : « assurer le mouvement vertical »

#### a. Élaboration du modèle géométrique direct et du modèle articulaire inverse

##### Q 1. Détermination des coordonnées opérationnelles $l_4$ et $h(t)$ .

Écriture de la fermeture géométrique :

$$\overrightarrow{O_0A} + \overrightarrow{AO_1} + \overrightarrow{O_1O_2} + \overrightarrow{O_2O_0} = \vec{0} \rightarrow l_4 \cdot \vec{y}_0 + L \cdot \vec{y}_1 + l_1 \cdot \vec{y}_2 - h(t) \cdot \vec{z}_0 = \vec{0}$$

En projetant sur  $\vec{y}_0$  et  $\vec{z}_0$  :

- Sur  $\vec{y}_0$  :  $l_4 + L \cdot \cos \theta_{10} + l_1 \cdot \cos(\theta_{10} + \theta_{21}) = 0$
- Sur  $\vec{z}_0$  :  $L \cdot \sin \theta_{10} + l_1 \cdot \sin(\theta_{10} + \theta_{21}) - h(t) = 0$

On en déduit :

$$\begin{aligned} l_4 &= -L \cdot \cos \theta_{10} - l_1 \cdot \cos(\theta_{10} + \theta_{21}) & (1) \\ h(t) &= L \cdot \sin \theta_{10} + l_1 \cdot \sin(\theta_{10} + \theta_{21}) & (2) \end{aligned}$$

##### Q 2. Détermination du modèle articulaire inverse en suivant les conseils du sujet.

- Recherche de  $\theta_{21}$  :

En élevant au carré les équations (1) et (2) et en les additionnant, on obtient :

$$l_4^2 + h(t)^2 = L^2 + 2L \cdot l_1 [\cos(\theta_{10} + \theta_{21}) \cdot \cos(\theta_{10}) + \sin(\theta_{10} + \theta_{21}) \cdot \sin(\theta_{10})] + l_1^2$$

On identifie la forme  $\cos a \cdot \cos b + \sin a \cdot \sin b = \cos(a - b)$

$$\Rightarrow \cos(\theta_{21}) = \frac{l_4^2 + h(t)^2 - L^2 - l_1^2}{2L \cdot l_1} \quad \text{d'où} \quad \theta_{21} = \arccos\left(\frac{l_4^2 + h(t)^2 - L^2 - l_1^2}{2L \cdot l_1}\right)$$

- Recherche de  $\theta_{10}$  :

On utilise le modèle géométrique direct avec les équations proposées dans le sujet :

$$l_1 \cdot \cos(\theta_{10} + \theta_{21}) = l_4 + L \cdot \cos \theta_{10} \quad (3)$$

$$l_1 \cdot \sin(\theta_{10} + \theta_{21}) = h(t) - L \cdot \sin \theta_{10} \quad (4)$$

En élevant au carré les équations (3) et (4) et en les additionnant, on obtient :

$$2 \cdot L \cdot l_4 \cdot \cos \theta_{10} - 2L \cdot h(t) \cdot \sin \theta_{10} = l_1^2 - h(t)^2 - L^2 - l_4^2$$

On pose  $\cos(\varphi) = \frac{l_4}{\sqrt{l_4^2 + h(t)^2}}$  et  $\sin(\varphi) = \frac{-h(t)}{\sqrt{l_4^2 + h(t)^2}}$

On en déduit alors :

$$\cos(\theta_{10} - \varphi) = \frac{l_1^2 - h(t)^2 - L^2 - l_4^2}{2 \cdot L \cdot \sqrt{l_4^2 + h(t)^2}} \quad \text{et} \quad \varphi = \text{Arctan}\left(-\frac{h(t)}{l_4}\right)$$

Finalement :  $\theta_{10} = \arccos\left(\frac{l_1^2 - h(t)^2 - L^2 - l_4^2}{2 \cdot L \cdot \sqrt{l_4^2 + h(t)^2}}\right) + \text{Arctan}\left(-\frac{h(t)}{l_4}\right)$

#### b. Élaboration du modèle cinématique

##### Q 3. Détermination de la vitesse angulaire $\dot{\theta}_{21}$

En dérivant l'expression de  $\cos(\theta_{21})$ , on obtient :

$$-\dot{\theta}_{21} \cdot \sin(\theta_{21}) = \frac{\dot{h}(t) \cdot h(t)}{L \cdot l_1} \Rightarrow \dot{\theta}_{21} = -\frac{\dot{h}(t) \cdot h(t)}{L \cdot l_1 \cdot \sin(\theta_{21})}$$

**Q 4. Vitesse maximale du moteur articulaire du genou.**

La vitesse est maximale pour  $t = 1,5s$ . On a alors  $h = 0,826 m$  ;  $\dot{h} = \frac{0,422 m}{s}$  ; et  $\theta_{21} = 55,9^\circ$

$$\dot{\theta}_{21}(t = 1,5) = -\frac{0,422 \cdot 0,826}{43,1 \cdot 1,8 \cdot 10^{-4} \cdot \sin(55,9)} = -1,89 \text{ rad/s}$$

$$\dot{\theta}_{mot} = \frac{\dot{\theta}_{21}}{r} = \frac{-1,89}{1/120} = -227 \text{ rad/s} \Rightarrow N_{mot} = \frac{30}{\pi} \dot{\theta}_{mot} = -2168,5 \text{ tr/min}$$

**c. Élaboration du modèle dynamique**

On considère l'ensemble  $E = \{\text{cuisse (2)} + \text{charge transportée (4)}\}$  dans son mouvement par rapport à  $R_0$ .

**Q 5. Calcul de la projection du moment cinétique  $\vec{\sigma}_{O_1, E/0} \cdot \vec{x}_0$**

$$\vec{\sigma}_{O_1, E/0} = \vec{\sigma}_{G_4, E/0} + \overrightarrow{O_1 G_4} \wedge \vec{R}_{C, E/0}$$

$\vec{\sigma}_{G_4, E/0} = \vec{0}$  car 4 est en translation / 0, la masse et l'inertie de 2 sont négligées.

$$\vec{R}_{C, E/0} = \vec{R}_{G_4, E/0} = m_4 \cdot \vec{V}_{G_4, E/0} = m_4 \cdot \dot{h}(t) \cdot \vec{z}_0$$

D'où :

$$\vec{\sigma}_{O_1, E/0} = (\lambda(t) \cdot \vec{z}_0 - L \cdot \cos(\theta_{10}) \cdot \vec{y}_0) \wedge m_4 \cdot \dot{h}(t) \cdot \vec{z}_0 = -m_4 \cdot \dot{h}(t) \cdot L \cdot \cos(\theta_{10}) \cdot \vec{x}_0$$

$$\vec{\sigma}_{O_1, E/0} \cdot \vec{x}_0 = -m_4 \cdot \dot{h}(t) \cdot L \cdot \cos(\theta_{10})$$

**Q 6. Calcul de la projection du moment dynamique  $\vec{\delta}_{O_1, E/0} \cdot \vec{x}_0$**

Le sujet propose de déduire le résultat à partir du moment cinétique :

$$\vec{\delta}_{O_1, E/0} = \left( \frac{d}{dt} \vec{\sigma}_{O_1, E/0} \right)_0 + m_4 \cdot \vec{V}_{O_1/0} \wedge \vec{V}_{G_4, E/0}$$

$$= (-m_4 \cdot \ddot{h}(t) \cdot L \cdot \cos(\theta_{10}) + m_4 \cdot \dot{h}(t) \cdot L \cdot \dot{\theta}_{10} \cdot \cos(\theta_{10})) \vec{x}_0 + m_4 \cdot L \cdot \dot{\theta}_{10} \cdot \vec{z}_1 \wedge \dot{h}(t) \cdot \vec{z}_0$$

$$= -m_4 \cdot \ddot{h}(t) \cdot L \cdot \cos(\theta_{10}) \cdot \vec{x}_0$$

$$\vec{\delta}_{O_1, E/0} \cdot \vec{x}_0 = -m_4 \cdot \ddot{h}(t) \cdot L \cdot \cos(\theta_{10})$$

Remarque : En faisant le calcul direct du moment dynamique en  $G_4$  puis le transport en  $O_1$ , le calcul est plus rapide

$$\vec{\delta}_{O_1, E/0} = \vec{\delta}_{G_4, E/0} + \overrightarrow{O_1 G_4} \wedge \vec{R}_{D, E/0} = (\lambda(t) \cdot \vec{z}_0 - L \cdot \cos(\theta_{10}) \cdot \vec{y}_0) \wedge m_4 \cdot \dot{h}(t) \cdot \vec{z}_0$$

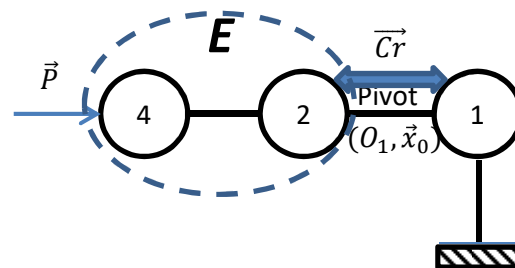
$$= -m_4 \cdot \ddot{h}(t) \cdot L \cdot \cos(\theta_{10}) \cdot \vec{x}_0$$

**Q 7. Expression du couple Cr**

On isole l'ensemble  $E = \{4 + 2\}$  et on applique le théorème du moment dynamique en  $O_1$  en projection sur  $\vec{x}_0$ .

Inventaire des actions mécaniques extérieures :

- Le poids  $\vec{P}$
- Le couple appliqué par le réducteur  $\vec{Cr}$
- L'action de la liaison pivot en  $O_1$



Le théorème du moment dynamique en  $O_1$  en projection sur  $\vec{x}_0$  :

$$(\overrightarrow{O_1 G_4} \wedge \vec{P} + \vec{Cr}) \cdot \vec{x}_0 = \vec{\delta}_{O_1, E/0} \cdot \vec{x}_0$$

$$Cr = -m_4 \cdot \ddot{h}(t) \cdot L \cdot \cos(\theta_{10}) - m_4 \cdot g \cdot L \cdot \cos(\theta_{10}) \text{ ou } Cr = -m_4 \cdot L \cdot \cos(\theta_{10}) \cdot [\ddot{h}(t) + g]$$

Application numérique :  $m_4 = 60 \text{ kg}$  ;  $L = 0,518 \text{ m}$  ;  $\theta_{10} = 54,5^\circ$  ;  $\ddot{h}(t) = \frac{0,42}{0,5} \text{ m/s}^2$

$$Cr = -60 \cdot 0,518 \cdot \cos(54,5^\circ) \cdot [0,84 + 9,81] = 192,2 \text{ Nm}$$

**Q 8. Calcul du couple moteur**

Compte tenu du rendement et du réducteur, le couple moteur s'exprime :  $C_m = \frac{r}{\eta} \cdot C_r$

Application numérique :  $C_m = \frac{1}{120 \cdot 0,75} \cdot 192,2 = 2,136 \text{ Nm}$

**d. Validation du dimensionnement du moteur :****Q 9. Mouvements associés aux 4 phases du cycle**

Phase 1 : Descente – Passage de la position jambe verticale à jambe fléchie

Phase 2 : Maintien en position jambe fléchie (pas d'évolution de l'angle  $\theta_{10}$ )

Phase 3 : Remontée - Passage de la position jambe fléchie à jambe verticale

Phase 4 : Maintien jambe verticale (moment du poids nul)

**Q 10. Calcul du couple efficace**

La relation du sujet  $C_{eff} = \sqrt{\frac{1}{T} \int_0^T c(t)^2 dt}$ , est équivalente à la relation plus classique pour ce calcul

$C_{eff} = \sqrt{\frac{1}{T} \sum_{i=1}^n (C_{i\text{eff}}^2 \cdot T_i)}$  en considérant les valeurs efficaces du couple pour chaque phase du cycle.

Les phases 1 et 3 étant de formes complexes, les valeurs numériques  $C_{1\text{eff}}$ ,  $C_{3\text{eff}}$  sont probablement issues de la simulation numérique.

Il suffit de tirer celles des phases 2 et 3 où le couple est constant donc les valeurs efficaces égales à ces constantes :  $C_{2\text{eff}} = 0,9 \text{ Nm}$  et  $C_{4\text{eff}} = 0$ .

Finalement :  $C_{eff} = \sqrt{\frac{1}{15} (0,838^2 \cdot 2 + 0,9^2 \cdot 2 + 0,838^2 \cdot 2 + 0^2 \cdot 9)} = 0,543 \text{ Nm}$

**Q 11. Conclusion sur le choix du moteur**

Les caractéristiques du moteur et les données de dimensionnement issues de l'étude sont :

- vitesse à vide =  $3120 \text{ tr} \cdot \text{min}^{-1}$  sous  $U_n = 36 \text{ V} > N_{\text{max}} = 2168 \text{ tr} \cdot \text{min}^{-1}$  (Q4)
- couple permanent admissible =  $0,56 \text{ Nm} > C_{\text{eff}} = 0,543 \text{ Nm}$  (Q10)

**Le moteur convient sur ces 2 critères.**

On vérifie aussi qu'à couple maximum de  $1,156 \text{ N.m}$ , la fréquence de rotation du moteur sera :

$$N_{\text{mot}} = 3120 - 423 \cdot 1,156 = 2631 \text{ tr/min}$$

**Ce qui est également satisfaisant.**

**III. Gérer le mouvement vertical****Q 12. Grandeurs physiques contrôlées :**

D'après le modèle multiphysique de la figure 3 :

- la mesure est la « coordonnée verticale de l'articulation de la hanche » donc en mètres (m),
- la « consigne » est en entrée d'un intégrateur avant d'être comparée à la hauteur, il s'agit donc de la vitesse de déplacement vertical de la hanche (m/s).

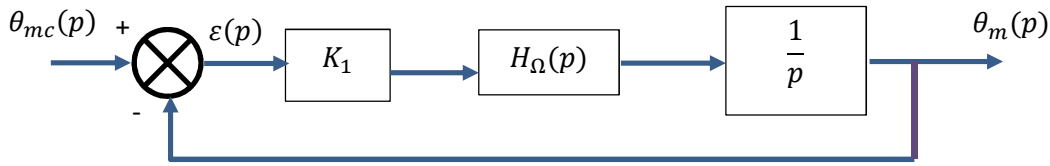
**Q 13. Expression de la fonction de transfert en vitesse  $H_{\Omega}(p)$  :**

Avec perturbation nulle et retour unitaire, on écrit directement :

$$H_{\Omega}(p) = \frac{\Omega_m(p)}{\Omega_{mc}(p)} = \frac{C_{\Omega}(p) \cdot M_c(p) \cdot \frac{1}{Jp + f}}{1 + C_{\Omega}(p) \cdot M_c(p) \cdot \frac{1}{Jp + f}} = \frac{\frac{K_2}{Jp}}{1 + \frac{K_2}{Jp}} = \frac{1}{1 + \frac{J}{K_2} p}$$

**Q 14. Expression de  $\varepsilon(p)$  écart ou erreur de position :**

On remplace la boucle de vitesse réduite à  $H_\Omega(p)$  dans la question Q13, dans le schéma bloc de la figure 11 et on obtient la structure suivante :



$$\varepsilon(p) = \theta_{mc}(p) - \theta_m(p) = \theta_{mc}(p) - K_1 \cdot H_\Omega(p) \cdot \frac{1}{p} \cdot \varepsilon(p)$$

On en déduit alors l'expression de  $\varepsilon(p)$  :  $\varepsilon(p) = \frac{1}{1 + K_1 \cdot H_\Omega(p) \cdot \frac{1}{p}} \cdot \theta_{mc}(p)$

**Q 15. Erreur de position :** L'entrée est un échelon unitaire (1 rad) soit  $\theta_{mc}(p) = \frac{1}{p}$

$$\varepsilon_p = \lim_{p \rightarrow 0} p \cdot \varepsilon(p) = \lim_{p \rightarrow 0} \frac{1}{1 + K_1 \cdot H_\Omega(p) \cdot \frac{1}{p}} = 0$$

Résultat logique avec l'intégrateur (classe 1) et l'absence de perturbation de couple.

**Erreur de traînage :** L'entrée est une rampe unitaire (1 rad.s<sup>-1</sup>) soit  $\theta_{mc}(p) = \frac{1}{p^2}$

$$\varepsilon_v = \lim_{p \rightarrow 0} p \cdot \varepsilon(p) = \lim_{p \rightarrow 0} \frac{1}{1 + K_1 \cdot H_\Omega(p) \cdot \frac{1}{p}} \cdot \frac{1}{p} = \lim_{p \rightarrow 0} \frac{1}{p + K_1 \cdot H_\Omega(p)} = \frac{1}{K_1}$$

Système de classe 1, erreur de traînage finie, inversement proportionnelle à l'action proportionnelle de  $K_1$ .

**CONCLUSION :** Pour satisfaire la condition « erreur de traînage < 1% » imposée par le cahier des charges, il faut fixer  $K_1$  tel que  $K_1 = \frac{1}{\varepsilon_v} = \frac{1}{0.01} = 100$

**Q 16. Erreur en accélération :** L'entrée est une parabole (rad.s<sup>-2</sup>) soit  $\theta_{mc}(p) = \frac{1}{p^3}$

$$\varepsilon_a = \lim_{p \rightarrow 0} p \cdot \varepsilon(p) = \lim_{p \rightarrow 0} \frac{1}{1 + K_1 \cdot H_\Omega(p) \cdot \frac{1}{p}} \cdot \frac{1}{p^2} = \lim_{p \rightarrow 0} \frac{1}{p^2 + K_1 \cdot H_\Omega(p) \cdot p} = +\infty$$

Résultat attendu pour un système de classe 1, le cahier des charges n'est pas respecté sur ce critère.

**Q 17. Mise en place d'un correcteur par anticipation :**

Pour l'expression de  $\varepsilon(p)$ , on utilise le modèle fourni figure 12 et  $H_\Omega(p) = \frac{1}{1+T \cdot p}$

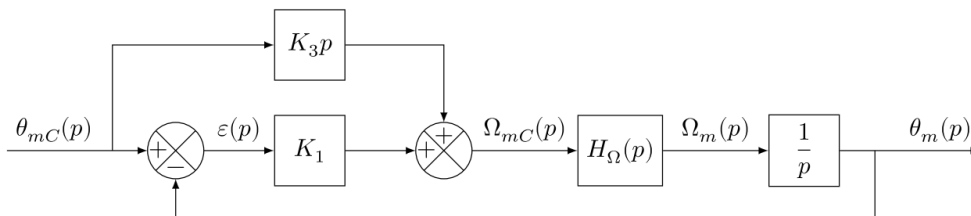


Figure 12 Second modèle

$$\varepsilon(p) = \theta_{mc}(p) - \theta_m(p) = \theta_{mc}(p) - (K_1 \cdot \varepsilon(p) + K_3 \cdot p \cdot \theta_{mc}(p)) \cdot H_\Omega(p) \cdot \frac{1}{p}$$

$$\varepsilon(p) = \frac{1 - K_3 \cdot H_\Omega(p)}{1 + K_1 \cdot H_\Omega(p) \cdot \frac{1}{p}} \cdot \theta_{mc}(p) = \frac{1 - \frac{K_3}{1+Tp}}{1 + \frac{K_1}{(1+Tp) \cdot p}} \cdot \theta_{mc}(p) = \frac{(1+Tp - K_3)}{Tp^2 + p + K_1} \cdot p \cdot \theta_{mc}(p)$$

**Q 18. Calcul de l'erreur de trainage :**  $\theta_{mc}(p) = \frac{1}{p^2}$

$$\varepsilon_v = \lim_{p \rightarrow 0} p \cdot \varepsilon(p) = \lim_{p \rightarrow 0} \frac{(1 + Tp - K_3)}{Tp^2 + p + K_1} = \frac{1 - K_3}{K_1}$$

On souhaite une erreur de trainage nulle donc  $1 - K_3 = 0$  d'où  $K_3 = 1$

**Q 19. Calcul de l'erreur en accélération :**  $\theta_{mc}(p) = \frac{1}{p^3}$

On remplace  $K_1$  et  $K_3$  par leurs valeurs numériques, respectivement 100 et 1, l'erreur est alors :

$$\varepsilon(p) = \frac{Tp}{Tp^2 + p + 100} \cdot p \cdot \theta_{mc}(p)$$

$$\varepsilon_a = \lim_{p \rightarrow 0} p \cdot \varepsilon(p) = \lim_{p \rightarrow 0} \frac{T}{Tp^2 + p + 100} = \frac{T}{100} = 33 \cdot 10^{-5}$$

Les erreurs de trainage et en accélération sont désormais compatibles avec le cahier des charges.

## IV. Acquérir l'intention de la mise en mouvement

**Q 20. Fréquence d'échantillonnage théorique :**

Le signal utile après filtrage anti repliement a une bande passante comprise entre 10Hz et 500Hz.

En respectant la limite stricte de Shannon, la fréquence d'échantillonnage théorique minimale doit donc être telle que  $f_e = 2 \cdot f_{\max \text{ utile}} = 2 \cdot 500 = 1000 \text{ Hz}$

**Q 21. Filtre passif, expression de  $\underline{V_a}$  :**

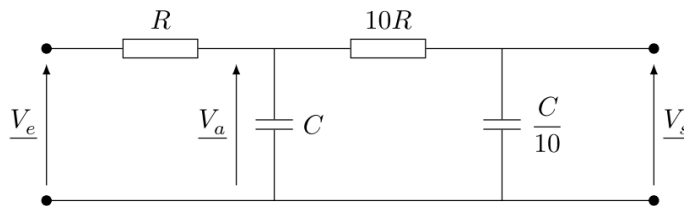


Figure 16 Filtre passif

En appliquant le théorème de Millman :  $\underline{V_a} = \frac{\frac{V_e}{R} + \frac{V_s}{10R}}{\frac{1}{R} + \frac{1}{10R} + Cj\omega} = \frac{10V_e + V_s}{11 + 10RCj\omega}$

**Q 22. Filtre passif, relation entre  $\underline{V_s}$  et  $\underline{V_a}$  :**

En appliquant un pont diviseur de tension :  $\underline{V_s} = \frac{\frac{10}{Cj\omega}}{10R + \frac{10}{Cj\omega}} \cdot \underline{V_a} = \frac{1}{1 + RCj\omega} \cdot \underline{V_a}$

Soit  $\underline{V_a} = (1 + RCj\omega) \cdot \underline{V_s}$

**Q 23. Filtre passif, fonction de transfert  $\frac{\underline{V_s}}{\underline{V_e}}$  :**

$$(1 + RCj\omega) \cdot \underline{V_s} = \frac{10V_e + V_s}{11 + 10RCj\omega}$$

D'où on tire :  $\frac{\underline{V_s}}{\underline{V_e}} = \frac{10}{10 + 21RCj\omega + 10(RCj\omega)^2} = \frac{1}{1 + 2,1RCj\omega + (RCj\omega)^2}$

**Q 24. Filtre passif, pulsation de coupure :**

En posant  $\omega_0 = \frac{1}{RC}$ , on obtient le résultat proposé dans le sujet. La bande passante du signal est comprise entre 10Hz et 500Hz.  $\Rightarrow \omega_0 = 2\pi \cdot f_{\max} = 1000 \cdot \pi \text{ rad/s}$

**Q 25. Résolution et fréquence d'échantillonnage du CAN 12 bits :**

Si la plage d'entrée analogique est  $\Delta V_{CAN} = 3V$ , la résolution ou quantum est :

$$q = \frac{\Delta V_{CAN}}{2^N - 1} \sim \frac{3}{2^{12}} = 7,32 \cdot 10^{-4} V$$

La fréquence d'échantillonnage  $f_e$  doit être telle que :  $\left| \frac{V_s}{V_e} \right| < \frac{q}{\Delta V_{CAN}} \sim \frac{1}{2^N}$  pour  $\omega > \pi \cdot f_e$

Soit l'inégalité :

$$\frac{1}{\sqrt{\left(1 - \left(\frac{f_e}{1000}\right)^2\right)^2 + \left(\frac{2,1 \cdot f_e}{1000}\right)^2}} < \frac{1}{2^{12}}$$

Si on pose  $x = f_e/1000$  réel positif il faut résoudre :

$$\begin{aligned} (1 - (x)^2)^2 + (2,1 \cdot x)^2 &> 2^{24} \\ 1 + x^4 - 2 \cdot x^2 + 4,41 \cdot x^2 &> 2^{24} \end{aligned}$$

On pose  $X = x^2$  :

$$1 + X^2 + 2,41 \cdot X > 2^{24}$$

On trouve  $X = 4094,8$  pour la solution physique à retenir soit  $x \sim 64$  et  $f_e = 64000 \text{ Hz}$

Vérification dans l'expression du module de la fonction de transfert.

$$\frac{1}{\sqrt{(1 - (64)^2)^2 + (2,1 \cdot 64)^2}} = 2,44 \cdot 10^{-4} \sim \frac{1}{2^{12}}$$

On retient  $f_e \geq 64 \text{ kHz}$  :

**Q 26. Equation du filtre discrétisé :**

L'équation discrète s'écrit :

$$\begin{aligned} \frac{\tau}{T_c} (s_n - s_{n-1}) + s_n &= e_n \\ \left(\frac{\tau}{T_c} + 1\right) s_n - \frac{\tau}{T_c} s_{n-1} &= e_n \\ s_n &= \frac{\tau}{\tau + T_c} s_{n-1} + \frac{T_c}{\tau + T_c} e_n \end{aligned}$$

On en déduit les valeurs de A et B :

$$A = \frac{\tau}{\tau + T_c}; B = \frac{T_c}{\tau + T_c}$$

**Q 27. Compléter l'algorithme proposé :**

Les conditions sont décrites en haut de la page 9/10 du sujet.

Le signal, une fois converti en numérique, subit un décalage négatif de valeur 2048 suivi, dans l'ordre, d'un redressement, d'une multiplication par 2 et d'un filtrage numérique passe-bas de fréquence de coupure égale à 6 Hz (figure 14). Le calcul de la valeur efficace de ce signal filtré est une image de l'intention de contraction du muscle. Un réglage à la première mise en service est nécessaire car le niveau du signal dépend de la pose des électrodes. Il consiste à mémoriser la valeur efficace obtenue lors d'une contraction maximale du muscle. Trois étapes du traitement du signal EMG sont représentées figure 15.

```
# Initialisation des variables
```

```
t = 0
```

```
Tn = 0
```

```
Dt = 0
```

```
Tc = 1000
```

```
Tc_réel = float(Tc)
```

```
tau = 37.7
```

```
A = tau/(tau+Tc_réel)
```

```
B = Tc_réel/(tau+Tc_réel)
```

```
# Programme principal
```

```
while True:
```

```
    NEMG = Acquérir_entrée_analogique()
```

```
    t = Acquérir_temps()
```

```
    Dt = t - Tn
```

```
    while Dt < Tc:
```

```
        t = Acquérir_temps()
```

```
        Dt = t - Tn
```

```
    Tn = t
```

```
    NEMG = NEMG - 2048
```

```
    E = abs(NEMG)
```

```
    E_réel = float(E)
```

```
    S = A*S+B*(2*E_réel)
```

```
    ...
```

```
    # suite du traitement non abordée ici
```

```
    ...
```

Coefficients du filtre établis en Q26

Décalage de la valeur 2048 négatif

« Redressement » numérique...

Multiplication par 2 du signal redressé  
E\_réel et fonction de transfert du filtre  
demandé :  $s_n = As_{n-1} + Be_n$

## V. Évolution du produit

**Q 28.** Pour détecter « l'intention » du mouvement, on peut :

Détecter la variation de pression au sol > capteur de pression piézoélectrique sous les semelles,  
détecter la déformation de la structure de l'exosquelette > cellule de force, jauge piézorésistive... ?

**Q 29.** Structure de transmission du mouvement entre moteurs et genou :

Il faut prévoir une transmission de puissance entre 2 axes parallèles. Une solution envisageable serait une transmission par poulies – courroies crantées.